



## مدل سازی عددی جریان اسلامگ به همراه حباب‌های نفوذ کرده به داخل بدنه اسلامگ در کanal افقی

مصطفی زین العابدینی<sup>۱</sup>، محمد رضا انصاری<sup>۲\*</sup>

۱- دانشجوی دکتری، مهندسی مکانیک، دانشگاه تربیت مدرس، تهران

۲- دانشیار، مهندسی مکانیک، دانشگاه تربیت مدرس، تهران

\*تهران، صندوق پستی ۱۴۱۱۵-۱۳۳۰@mmodares.ac.ir

### چکیده

یکی از پدیده‌های مهم و پیچیده در تحلیل رژیم جریان اسلامگ، مکش حباب‌های ریز به داخل بدنه اسلامگ در هنگام وقوع آن است. در این مقاله روشی برای مدل سازی اسلامگ با در نظر گرفتن پدیده مکش هوا به داخل بدنه مایع اسلامگ ارائه شد. در این روش رفتار اسلامگ، به همراه کسر حجمی حباب‌های نفوذ کرده و تأثیر آنها بر مشخصات اسلامگ بررسی شد تا روابط دقیق‌تری برای تخمین پارامترهای این رژیم جریان به دست آید. این روش از ترکیب مدل جریان دو سیالی، روش حجم سیال و مدل بالاتس جمیتی دسته حباب‌های با قطر یکسان، به وجود آمده است. در این راستا براساس شیوه جریان اسلامگ با پرش هیدرولیکی، مدلی برای تخمین ترم نفوذ ذرات حباب، مکانیزم و مقدار آن در نظر گرفته شد و به کمک برنامه‌ای جداگانه وارد معادلات موردنظر در نرم‌افزار فلوئنت گردید. در انتها نتایج حاصل از حل عددی جریان اسلامگ به همراه مدل مربوطه با نتایج تجزیی استخراجی از سایر مقالات مقایسه گردید. این نتایج شامل پروفیل جریان اسلامگ، حباب‌های نفوذ کرده، سرعت بدنه اسلامگ مابعد زمان و قوع جریان اسلامگ، تعداد حباب‌های نفوذ کرده با ابعاد مختلف، قطر متوسط حباب‌های نفوذ کرده و ... است.

### اطلاعات مقاله

مقاله پژوهشی کامل	1395 دی 11
پذیرش: ۱۳۹۵ خرداد ۱۱	پذیرش: ۱۳۹۵ خرداد ۱۱
ارائه در سایت: 27 فروردین 1396	ارائه در سایت: 27 فروردین 1396
کلید واژگان:	اسلامگ
نفوذ	نفوذ
حباب	حباب
مدل ترکیبی	مدل ترکیبی
شبیه‌سازی	شبیه‌سازی

## Numerical modeling of air bubbles entrainment in liquid slug body at Horizaontal duct

Mostafa Zeynalabedini, Mohammad Reza Ansari\*

Department of Mechanical Engineering, Tarbiat Modares University., Tehran, Iran  
\*P.O.B. 14115-143, Tehran, mra\_1330@mmodares.ac.ir

### ARTICLE INFORMATION

Original Research Paper  
Received 17 January 2016  
Accepted 09 June 2016  
Available Online 16 April 2017

Keywords:  
Slug  
Entrainment  
Bubble  
Coupled model  
Simulation

### ABSTRACT

Analysis of air bubbles entrainment in liquid slug body is one of the most important and complicated phenomena during slug flow regime. In the present attempt, a method is proposed for slug modeling to consider the air bubble entrainment into slug liquid body. The effect of consequences and their impact on slug behaviour to predict more accurate correlations for slug parameters is estimated and calculated. A two-fluid single pressure model is considered that is combined with population balance model for equal bubble diameter series and is solved using volume of fluid. In this regard, based on slug and hydraulic jump similarity, a correlation for air bubble entrainment rate and its mechanism is selected. This correlation is developed in the form of a user defined function code and is coupled with other models in FLUENT solver to calculate slug flow. Finally, the result of this numerical modeling is validated with the result of other numerical and experimental results in the related literature. The result is consist with the slug flow profile, entrained air bubble profile and their diameter distribution, slug mixture velocity, etc.

با عذر ایجاد یک گردابه در ورودی اسلامگ می‌گردد. به این ناحیه، ناحیه اختلاطی یا هوایی می‌گویند. با پیشرفت اسلامگ، ذرات حباب نفوذ کرده از قسمت پیشانی اسلامگ در طول اسلامگ جاری می‌شوند و در انتهای از قسمت دم اسلامگ خارج می‌شوند [۱] در "شکل ۱" شماتیکی از مناطق مختلف یک اسلامگ و نحوه و مکان نفوذ و خروج حباب‌ها به داخل آن نشان داده شده است.

در شکل فوق  $q_{Ge}$  نفوذ یا مکش<sup>۱</sup> حباب به داخل اسلامگ در اثر ایجاد یک

وقتی دو جریان با فازهای مایع و گاز در کنار یکدیگر درون کanal در حال حرکت هستند، سطح مشترک بین آنها می‌تواند الگوهای مختلفی تشکیل دهد، که پیچیده‌ترین این الگوها، جریان اسلامگ است. از بین نواحی مختلف جریان اسلامگ، مشخصات هیدرودینامیکی ناحیه پیشانی یا اختلاطی از همه پیچیده‌تر است. در ناحیه اختلاطی، پیشانی اسلامگ با سرعت بالا به فیلم مایع با سرعت پایین حمله‌ور شده و با شتاب دادن به آن و مخلوط کردن آن به همراه اندکی حباب از فاز گاز، آن را خود همراه می‌کند. این فرآیند

<sup>۱</sup> Entrainment

Please cite this article using:

M. Zeynalabedini, M. R. Ansari, Numerical modeling of air bubbles entrainment in liquid slug body at Horizaontal duct, *Modares Mechanical Engineering*, Vol. 17, No. 4, pp. 177-187, 2017 (in Persian)

برای ارجاع به این مقاله از عبارت ذیل استفاده نمایید:

## وجود دارد [4]

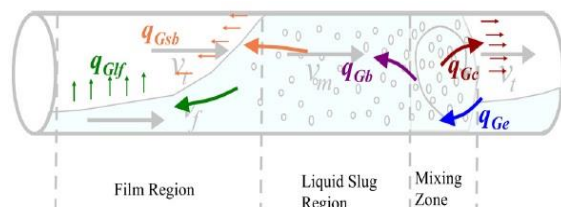
آندروسی و همکارانش کسر حجمی در مقاطع عرضی جریان اسلág، اندازه ذرات حباب داخل اسلág، میزان هوازایی در داخل فیلم زیر جریان اسلág، طول و فرکانس اسلág و همچنین طول ناحیه اختلاطی در جلوی اسلág را به کمک روش‌های آزمایشگاهی و به کارگیری پروب‌های اپتیکال و مقاومتی به صورت موضوعی و سطح مقطعی به دست آورده‌اند. آن‌ها درنهایت براساس نتایج آزمایشگاهی خود و تحلیل استاتیکی اسلág، یک مدل سینماتیکی یکبعدی متوضط‌گیری شده برای اسلág ارائه نمودند [5].

سینماتیکی چنین با انجام آزمایش‌های متعدد نشان داد که فرآیند نفوذ حباب‌های هوای داخل بدن اسلág در اثر تخریب انتهای حباب کشیده تیلور و تبدیل آن به بسته‌های کوچک گاز (حباب‌ها) اتفاق می‌افتد که در داخل سیال پشت سر خود به دام می‌افتد. این پدیده در اثر وجود ساختارهای افتشاری قوی، مانند حرکت گردابهای پایدار در ورودی سیال مایع به بدن اسلág است [6]. کک و بهنیا ترم افت فشار در اسلág افقی را به چند قسمت تقسیم کردن و به صورت سینماتیکی و تکبعده مدل‌سازی نمودند. آن‌ها در مدل خود تأثیر حباب‌های نفوذ کرده را نیز مدل کردند. آن‌ها بیان کردند که حباب‌های گاز مانند ذرات کروی صلب رفتار کرده و باعث افزایش ویسکوزیته مخلوط می‌شوند. این تأثیر با اصلاح ویسکوزیته در معادلات اعمال شده و ضرایب اصطکاک دیواره‌ها را تغییر می‌دهد [7].

بارنیا و همکارانش به آندازه‌گیری سه بعدی کسر حجمی درون اسلág در شبیه‌های مختلف به کمک روش حس‌گر سیم شبکه‌ای<sup>۱</sup> پرداختند [8]. نایدال و آندروسی هوازایی اسلág را به صورت تجربی در لوله افقی برسی کردند. آن‌ها دریافتند که مکش حباب به داخل اسلág تنها در صورتی که سرعت نسبی بین پیشانی اسلág و فیلم مایع از یک مقدار معینی بیشتر شود اتفاق می‌افتد. نتایج این دو محقق با دقت قابل قبولی با نتایج آزمایشگاهی همخوانی داشت. آن‌ها دریافتند که میزان مکش حباب تابعی از ارتفاع فیلم مایع پیش روی اسلág، سرعت نسبی بین فیلم مایع و پیشانی اسلág، هندسه لوله، مشخصات فیزیکی فازها و فشار لوله است. آن‌ها نسبت دبی گاز به دبی مایع ورودی به پیشانی اسلág را به صورت تابعی از عدد فرود ارائه نمودند [9].

بونیزی و عیسی برای حل عددی اسلág افقی یک مدل دوسیالی یکبعدی دینامیکی برای شروع و توسعه اسلág با در نظر گرفتن نفوذ ذرات حباب، توزیع همگن و سرعت ثابت حباب‌ها، بدون لحاظ نمودن نیروی بیانسی و اغتشاشی ارائه کردند. آن‌ها به کمک معادلات دوسیالی برای فاز هوا و فاز مخلوط آب و حباب‌های نفوذ کرده به داخل اسلág در کنار یک معادله پیوستگی برای ذرات حباب، مدل خود را ارائه نمودند. آن‌ها از ترم تبدیل جرم برای بیان میزان نفوذ ذرات حباب در معادلات استفاده کردند [10].

موراگو و همکارانش به حل عددی جریان اطراف شناور سطحی پرداختند. آن‌ها از مدل بالانس<sup>۲</sup> برای تعیین سطح مشترک در کنار مدل دوسیالی فاز گاز و روش سطح معیار<sup>۳</sup> برای محاسبه کسر حجمی جمعیتی حباب‌ها استفاده کردند. در این بررسی از هر دو معادله پیوستگی و مومنت بالانس جمعیتی حباب‌ها استفاده شد و تمام اندرکنش‌های دو فاز با یکدیگر به صورت دوراهه (یعنی تأثیر فاز آب بر روی حباب‌ها و برعکس) لحاظ شد. اما از ترم انعقاد حباب‌ها در تغییر چگالی جمعیت حباب‌ها، تنش برشی حباب‌ها



شکل ۱ شماتیک یک واحد اسلág با مشخص کردن نحوه نفوذ، حرکت و خروج هوا در داخل اسلág [1]

جت در پیشانی اسلág است.  $q_{Gc}$  حباب‌هایی هستند که در همان پیشانی اسلág از اسلág جدا شده و به حباب تیلور پیش روی اسلág می‌پیوندند. اختلاف دو مقدار قبل برابر  $q_{Gb}$  است که بیانگر میزان حباب‌هایی است که از پیشانی اسلág عبور کرده و در طول آن منتشر می‌شوند. در انتهای اسلág  $q_{Gsb}$  دبی حباب‌های عبوری از دم اسلág و  $q_{Glf}$  دبی حباب‌های عبوری از فیلم مایع پشت سر اسلág است.

میزان نفوذ ذرات حباب در اسلág به عوامل مختلفی از جمله مشخصات سیال‌ها، مشخصات هندسی کanal و سرعت هر یک از فازها بستگی دارد. وجود ذرات حباب در داخل اسلág، باعث افزایش نرخ خوردگی نسبت به جریان‌های حلقوی و موجی، افت فشار بیشتر دو سر اسلág، تغییر ضریب اصطکاک دیواره و کاهش سرعت اسلág می‌شود. پدیده مکش می‌تواند باعث شکستن یک اسلág بزرگ و تبدیل آن به تعداد زیادی اسلág کوچک تر شود.

پدیده نفوذ حباب‌های کوچک سیال گازی به داخل سیال مایع، باعث می‌گردد که اسلág ظاهری کف‌آلود داشته باشد. این پدیده در "شکل ۲" نشان داده شده است.

پدیده مکش حباب به داخل اسلág تأثیر زیادی بر رفتار اسلág دارد، اما فیزیک آن بسیار پیچیده بوده و تاکنون هیچ مدل عددی کاملی بر روی اسلág افقی با در نظر گرفتن این پدیده ارائه نشده است.

گریگوری و همکارانش به صورت تجربی بر روی اسلág درون کanal افقی با دو قطر متفاوت کار کردند. آن‌ها با آندازه‌گیری کسر حجمی درون اسلág و برآش منحنی به داده‌های تجربی، رابطه‌ای برای متوضط کسر حجمی درون اسلág بر حسب سرعت مخلوط اسلág به دست آورده‌اند [3].

آندروسی و بندیکسون با آندازه‌گیری تجربی کسر حجمی درون اسلág در شرایط مختلف (شبیب، قطر کanal و مشخصات فیزیکی دو فاز) و ارائه یک رابطه جبری برای متوضط کسر حجمی درون اسلág براساس تحلیل سینماتیکی یکبعدی نتیجه گرفتند، که یک مقدار سرعت بحرانی وجود دارد، که در کمتر از آن هیچ حبابی به داخل اسلág نفوذ نمی‌کند و این مقدار واپسیه به قطر کanal است. آن‌ها در تحلیل خود فرض کردند که بین میزان نفوذ حباب‌های ریز از جلوی اسلág و نرخ خروج آن از انتهای اسلág تعادل



شکل ۲ نمایی از یک اسلág و پدیده نفوذ ذرات حباب به داخل آن [2]

<sup>1</sup> Wire mesh sensor  
<sup>2</sup> Level-Set

افتد و در آن ناحیه مقدار حداکثری دارد. تشکیل و اضمحلال حباب خود باعث انتشار امواج صوتی می‌شود. با تحلیل جریان در این ناحیه، میزان حباب‌های تشکیل شده، ابعاد آن‌ها و فرکانس امواج تولیدی می‌توان ایجاد ناحیه اختلاطی و بدین‌آین وقوع اسلامگ را براساس همین امواج صوتی و به کمک یک دستگاه اندازه‌گیری امواج صوتی در لوله‌های انتقال نفت و گاز که از جنس فلزی بوده و داخل آن‌ها قابل روئیت نیست تشخیص داد و با تعییر شرایط کاری از وقوع آن جلوگیری نمود.

مدل‌سازی این مسئله به همراه تمامی مدل‌های ذکر شده در نرم‌افزار فلوئنت<sup>۴</sup> به صورت دوبعدی انجام می‌گیرد. در انتها نتایج مربوط به نفوذ حباب‌ها به درون اسلامگ با نتایج عددی و آزمایشگاهی استخراجی از سایر مقالات مقایسه می‌شود.

## ۲- مشخصات هندسی و عددی مسئله

### ۲-۱- مشخصات هندسی و فیزیکی

- ابعاد کاتال دوبعدی: 4000mm×100mm
- ابعاد صفحه جداکننده فازها در ورودی: مستطیلی به طول 50cm و ضخامت 2mm
- این صفحه برای تعیین کسر حجمی ورودی هر یک از دو فاز در ورود به کاتال و جداسازی آن‌ها تعییه شده است. با این کار هر یک از دو فاز قبل از برخورد با یکدیگر یک جریان یکنواخت تشکیل می‌دهند.
- جنس سیال فازها: آب و هوا (در دو حالت با سطح مشترک بزرگ و کوچک)

در محدوده دما و فشار کاری اسلامگ، فرض بر این است که سیال آب تراکم‌ناپذیر بوده و لزجت آن نیز ثابت است. در مورد سیال هوا نیز اگر از آن به عنوان فاز با مقیاس طولی سطح مشترک بزرگ استفاده شود، تراکم‌ناپذیر و اگر از آن به عنوان فاز حباب یا همان مقیاس طولی سطح مشترک کوچک استفاده شود، تراکم‌پذیر در نظر گرفته می‌شود و از قانون گاز کامل تعییت می‌کند. البته در هر دو حالت لزجت مولکولی هوا نیز ثابت فرض می‌گردد. با توجه به سرعت‌های هر دو فاز که کمتر از 30 m/s است، جریان هر دو فاز مایع و گاز غیرقابل تراکم در نظر گرفته می‌شوند.

- کسر حجمی هر یک از دو فاز در ورودی 0.5 است. هوا از نیمه بالایی کاتال و آب از نیمه پایینی کاتال وارد می‌شود.
- سرعت ظاهری آب و هوا به ترتیب 0.5m/s و 0.5m/s می‌باشد.
- با توجه به سرعت هر یک از دو فاز و مشخصات هندسی کاتال موردنظر، عدد رینولدز هر یک از دو فاز به صورت زیر محاسبه می‌شود:

$$Re_{water} = \frac{\rho u D_h}{\mu} = \frac{998.2 \times 1 \times 0.1}{0.001003} = 99521.436 \quad (1)$$

$$Re_{air} = \frac{\rho u D_h}{\mu} = \frac{1.225 \times 13 \times 0.1}{0.000017894} = 88996.312 \quad (2)$$

در روابط فوق  $D_h$  قطر هیدرولیکی کاتال می‌باشد، که در حالت دوبعدی دو برابر عرض کاتال است.

- شدت اغتشاشات در ورودی با توجه به عدد رینولدز و به کمک رابطه (۳) محاسبه می‌شود [۱۶]:

$$I = 0.16 Re^{-\frac{1}{8}} \quad (3)$$

در اثر ویسکوزیته و کشش سطحی صرف نظر شد [۱۱]. ما و همکارانش از همان مدل موراگو و همکارانش برای حل عددی جریان اطراف شناور سطحی و جت نفوذی استفاده کردند. البته آن‌ها اندرکنش‌های دوفازی را به صورت یکراهه ( فقط تأثیر فاز آب بر روی حباب‌ها) لحاظ کردند [۱۲].

اسکارتلین و همکارانش به بررسی تجربی و تحلیلی اسلامگ و پرش هیدرولیکی پرداختند و براساس تحلیل استاتیکی اغتشاشات درون این جریان‌ها، یک رابطه جبری صریح برای تخمین نخر نفوذ ذرات حباب به داخل پرش هیدرولیکی و اسلامگ افقی درون کاتال ارائه کردند [۱۳]. مین و همکارانش [۱۴] از همان مدل موراگو و همکارانش [۱۱] برای حل عددی جریان اسلامگ افقی استفاده کردند. اما ترم‌های نفوذ ذرات حباب را به گونه‌ای دیگر مدل‌سازی کردند.

انصاری و همکارانش جریان اسلامگ درون یک کاتال افقی با سطح مقطع مستطیلی را با استفاده از روش حجم سیال به همراه مدل اغتشاشی انتقال تنش برشی کی-امگا به صورت سه‌بعدی در نرم‌افزار اپن فوم<sup>۱</sup> شبیه‌سازی کردند. نتایج کار آن‌ها با نتایج آزمایشگاهی تطابق داشت و طول اسلامگ را به درستی تخمین می‌زد، اما در محاسبه مکان اسلامگ درون کاتال به اعداد ادبی و انصاری به مطالعه تجربی جریان اسلامگ درون کاتالی به اعداد  $5 \times 10 \times 3600 \text{ cm}^3$  پرداختند. در کار آن‌ها سرعت‌های ظاهری فاز آب  $0.5 \text{ m/s}$  سرعت ظاهری فاز هوا  $6 \text{ m/s}$  و کسر حجمی هر دو فاز در ورودی  $0.5$  بود. در آزمایش آن‌ها جریان اسلامگ در فاصله  $2 \text{ m}$  از ورودی کاتال و در زمان  $0.4 \text{ s}$  (فاصله زمانی بین تشکیل دو اسلامگ متواتی) اتفاق افتاد [۲].

در مقاله حاضر سعی شده است، تا به کمک روشی جدید، که از ترکیب مدل دو فازی دو سیالی، مدل حجم سیال<sup>۲</sup> و مدل بالانس جمعیتی<sup>۳</sup> به وجود آمده است، توزیع و میزان حباب‌های نفوذ کرده به داخل بدن مایع اسلامگ و همچنین اثر آن بر رفتار اسلامگ افقی درون کاتال مدل‌سازی شود. در این روش، کسر حجمی حباب‌های گاز نفوذ کرده به داخل بدن مایع اسلامگ، براساس برآیند حل تعدادی دسته معادله پیوستگی برای حباب‌های با قطر یکسان به دست می‌آید. بعلاوه، برای نمایش سطح مشترک دو فار، در قسمت‌هایی که مقیاس طولی سطح مشترک بزرگتر از اندازه شبکه است، مانند چهارچوب اسلامگ (پیشانی و دم اسلامگ)، از مدل حجم سیال استفاده شده است تا سطح مشترک اسلامگ به خوبی بازسازی شود. اما در موارضی که اندازه مقیاس طولی سطح مشترک کوچک‌تر از اندازه شبکه است، مانند سطح مشترک حباب‌های ریز درون ناحیه اختلاطی، هیچ سطح مشترکی محاسبه نشده و اثر حباب‌ها توسط مدل دو سیالی در حل جریان اسلامگ لحاظ می‌گردد. بدین ترتیب چهارچوب اسلامگ توسط مدل حجم سیال و بدن اسلامگ مایع به همراه ذرات حباب نفوذ کرده (با ابعاد کوچک‌تر از ابعاد شبکه) به داخل آن توسط مدل دوسیالی مدل می‌شود. نحوه تأثیر نفوذ این حباب‌ها به داخل اسلامگ از طریق ترم‌های انتقال مومنت، انتقال جرم، ترم‌های نفوذ ذرات حباب، شکست و انعقاد حباب‌ها در معادلات لحاظ می‌شود.

به عنوان مثالی از کاربرد صنعتی این تحقیق و همچنین پیشنهادی برای ادامه راه، می‌توان به نمونه ذیل اشاره کرد:

نفوذ ذرات حباب به داخل بدن اسلامگ مایع در شرایط کاری مختلف جریان، امری اجتناب‌ناپذیر است. نفوذ این ذرات از پیشانی اسلامگ اتفاق می‌

<sup>1</sup> OpenFoam

<sup>2</sup> Volume of Fluid

<sup>3</sup> Population balance equations

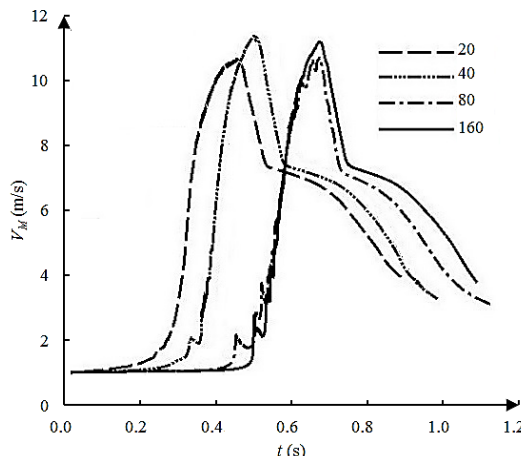


Fig. 4 Slug mixture velocity comparison at different mesh with 20, 40, 80 and 100 cells in channel height direction

شکل 4 مقایسه سرعت مخلوط اسلاگ در شبکه‌هایی با تعداد 20، 40، 80 و 100 سلول در راستای ارتفاع کanal

می‌باشد. در "شکل 4" سرعت مخلوط اسلاگ در هر 4 شبکه با یکدیگر مقایسه شده است. همان‌طور که مشاهده می‌شود، شبکه‌هایی که تعداد تقسیمات آن در راستای ارتفاع 80 و ارتفاع سلول‌های آن 1.25mm است نتایج مستقلی ارائه می‌کند.

در مرحله بعد استقلال حل نسبت به تعداد سلول‌ها در راستای طول کanal بررسی گردید. در این رابطه 4 شبکه محاسباتی به نحوی ساخته شد که در همه این شبکه‌ها ارتفاع سلول‌ها مقدار ثابت 1.25mm (80 سلول در راستای ارتفاع کanal) و طول سلول‌ها در راستای طول کanal به ترتیب 20، 10، 5 و 2.5mm (تعداد تقسیمات در راستای طول کanal به ترتیب 200، 400، 800 و 1600 می‌باشد). در "شکل 5" سرعت مخلوط اسلاگ در هر 4 شبکه با یکدیگر مقایسه شده است. نتایج این بررسی نیز نشان می‌دهد، که شبکه‌ای با

سلول‌های به طول 5mm نتایج مستقلی ارائه می‌کند.

بنابراین شبکه‌ای که در آن فاصله طولی سلول‌ها 5mm و فاصله عرضی آن‌ها از یکدیگر 1.25mm است حلی مستقل از شبکه را ایجاد خواهد کرد. نتایج به دست آمده برای ابعاد شبکه مناسب، جهت استخراج نتایج حل جریان اسلاگ به صورت مستقل از شبکه، با ابعاد به دست آمده در کار انصاری و همکارانش [15] نیز تطابق دارد.

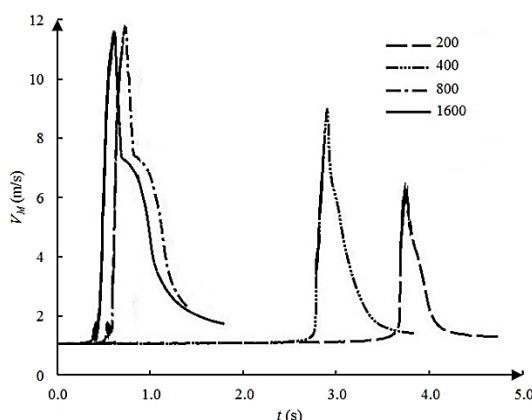


Fig. 5 Slug mixture velocity comparison at different mesh with 200, 400, 800 and 1600 cells in channel length direction

شکل 5 مقایسه سرعت مخلوط اسلاگ در شبکه‌هایی با تعداد 200، 400، 800 و 1600 سلول در راستای طول کanal

## 2-2- شرایط مرزی

- در ورودی میدان حل از شرط مرزی سرعت ثابت برای هر دو فاز استفاده می‌شود.

- از شرط مرزی فشار ثابت، در مرز خروجی انتهایی استفاده می‌شود.

- شرط اعمال شده بر روی دیوارهای شرط عدم لغزش می‌باشد. لذا در همه مدل‌های اختصاصی از توابع دیواره (تابع دیواره استاندارد) برای حل جریان در نواحی نزدیک دیواره استفاده می‌شود. البته در صورت استفاده از توابع دیواره، باید دقیق شود که انتخاب شبکه به گونه‌ای باشد، که هیچ سلول محاسباتی در ناحیه زیر لایه لزج قرار نگیرد.

در "شکل 3" شماتیکی از هندسه مسئله مورد نظر و شرایط مرزی مختلف بر روی آن نشان داده شده است.

## 2-3- مشخصات حلگر

- الگوریتم مورد استفاده برای حل معادلات گسسته شده پیوستگی جرم و مومنت: فاز کوپل سیمپل<sup>1</sup>

- مدل دوفازی مورد استفاده: ترکیب سه مدل اولری (دو فازی-دو سیالی تک فشاره)، جرم سیال و بالанс جمعیتی

- روش گسسته‌سازی زمانی: ضمنی درجه دو<sup>2</sup>

- گسسته‌سازی و نحوه ارتباط معادله مومنت و فشار: استگرد<sup>3</sup>

- فواصل زمانی: به صورت متغیر (تطبیق پذیر)<sup>4</sup> به نحوی که فواصل زمانی بین مقادیر  $10^{-7}$  تا  $10^{-3}$  متغیر است.

- روش گسسته‌سازی مومنت: درجه دو پیش رو<sup>5</sup>

- روش گسسته‌سازی کسر حجمی: بازسازی هندسی<sup>6</sup>

- مدت زمان حل مسئله برای 2s با پردازش موازی یک رایانه 8 هسته‌ای به سرعت 3.3GHz 10 روز می‌باشد.

## 2-4- تعیین ابعاد شبکه محاسباتی

در ابتدا استقلال حل از شبکه محاسباتی مورد ارزیابی قرار می‌گیرد. استخراج حل مستقل از شبکه در پدیده اسلاگ فرآیند بسیار دشواری است. لذا استقلال حل از شبکه در هر دو جهت مختصاتی به صورت جداگانه بررسی می‌شود. برای تعیین استقلال حل از شبکه نسبت به تعداد سلول‌های در راستای ارتفاع کanal 4 شبکه محاسباتی به نحوی ساخته شد، که تعداد تقسیمات آن‌ها در راستای طول 4 متری کanal به ترتیب 20، 40، 80 و 160 باشد. بنابراین طول همه سلول‌ها در همه شبکه‌ها در راستای طول کanal 5mm و ارتفاع سلول‌ها در شبکه‌های مختلف به ترتیب 5، 2.5، 1.25 و 0.625mm می‌باشد.

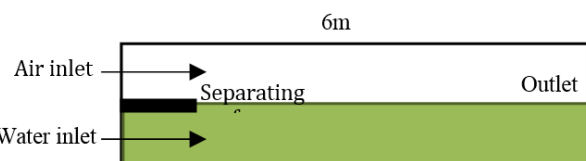


Fig. 3 Channel schematic for slug modeling

شکل 3 شماتیک کanal مورد نظر برای تولید جریان اسلاگ

<sup>1</sup> Phase Coupled Semi Implicit Method for Pressure Linked Equations

<sup>2</sup> Second Order Implicit

<sup>3</sup> Pressure Staggered Option

<sup>4</sup> Adaptive

<sup>5</sup> Second order upwind

<sup>6</sup> GeoConstruct

### بود سطح مشترک در سلول مرکزی به عنوان سطح مشترک بزرگ مقیاس در نظر گرفته می‌شود [18].

از طرفی جهت مدل‌سازی حباب‌های نفوذ کرده به داخل اسلامگ که به صورت ذرات ریز و با مقیاس طولی کوچک سطح مشترک هستند یک فاز جدید در کنار دو فاز قبلی تعریف شده و به روش دوسیالی حل می‌شود. برای افزایش دقت مدل دوسیالی جهت مدل کردن جریان حبابی درون بدن اسلامگ مایع، به جای نوشتن تنها یک دسته معادله برای حباب‌های نفوذ کرده، از معادلات بالا نس جمعیتی برای دسته حباب‌های نفوذ کرده استفاده می‌شود. بدین ترتیب که حباب‌های نفوذ کرده براساس قطرباشان به چند دسته تقسیم می‌شوند و برای هر دسته حباب یک معادله پیوستگی جداگانه نوشته و حل می‌شود. سپس کسر حجمی کلی درون اسلامگ مایع و قطر میانگین حباب‌ها بر اساس برآیند چگالی تعداد این دسته حباب‌ها و متناسب با قطرباشان محاسبه می‌شود. ارتباط بین معادلات بالا نس جمعیتی و سایر معادلات از طریق ترم‌های تبادل مومنتم در معادلات مومنتم، ترم نفوذ در معادلات پیوستگی، کسر حجمی فاز حباب‌ها و ترم‌های شکست و انعقاد آن‌ها در معادلات پیوستگی جرم برقرار می‌شود. مزیت این روش محاسبه نیروهای تبادل مومنتم بر اساس قطر دسته حباب‌ها می‌باشد و بنابراین دقت بالاتری دارد (تخمین این ترم‌ها مهم‌ترین عامل کاهش دقت مدل دوسیالی است). به علاوه می‌توان فرآیندهای انعقاد و شکست حباب‌ها را نیز در این روش لاحظ نمود.

لازم به ذکر است، در موارضی که ذرات ریز حباب با ابعاد کوچک‌تر از ابعاد شبکه وجود دارند، هیچ فرآیندی برای تعیین سطح مشترک حباب‌های نفوذ کرده انجام نمی‌شود و تنها اثر این حباب‌ها در معادلات وارد می‌شود. از روش حجم سیال تنها برای بازسازی سطح مشترک کلی اسلامگ که مقیاس طولی آن از ابعاد شبکه بزرگ‌تر است استفاده می‌شود. وجود حباب‌ها در داخل اسلامگ توسط ترم کسر حجمی درون هر سلول لحظه‌ی گردد و نیازی به مشخص کردن سطح مشترک آن نیست. بدین ترتیب نیازی به داشتن شبکه‌ای با ابعاد بسیار ریز نیست.

در تحقیق حاضر جهت افزایش دقت محاسبات و بهبود تحلیل رفتار فیزیکی پدیده، از سه فاز مختلف استفاده شده است. فاز اول فاز پیوسته یا همان فاز مایع<sup>۱</sup>، فاز دوم فاز مقیاس طولی بزرگ سطح مشترک یا LSI<sup>۲</sup>، α<sub>۱</sub> و فاز سوم فاز مقیاس طولی کوچک سطح مشترک یا SSI<sup>۳</sup>، α<sub>۲</sub> می‌باشد. معادلات این مدل ترکیبی به صورت زیر می‌باشد:

#### 1-1-3- معادلات روش حجم سیال

معادله پیوستگی جرم [19]:

$$\frac{\partial \rho_m}{\partial t} + \nabla \cdot (\rho_m V_m) = 0 \quad (4)$$

معادله پیوستگی مومنتم:

$$\frac{\partial(\rho_m V_m)}{\partial t} + \nabla \cdot (\rho_m V_m V_m) = -\nabla P_m + \nabla \cdot \tau_m + \rho_m g \quad (5)$$

معادلات انتشار کسر حجمی:

$$\frac{\partial \alpha_1}{\partial t} + V_m \cdot (\nabla \alpha_1) = 0 \quad (6)$$

$$\frac{\partial \alpha_2}{\partial t} + V_m \cdot (\nabla \alpha_2) = -\frac{\dot{m}_{\text{entrainment}_{2 \rightarrow 3}}}{V_{\text{cell}} \cdot \rho_2} \quad (7)$$

<sup>2</sup> Large-Scale interface

<sup>3</sup> Small-Scale interface

### 3- معادلات جریان

#### 3-1- معادلات مدل ترکیبی

معادلات دوسیالی براساس روش‌های متوجه‌گیری مکانی به دست آمده‌اند. بنابراین برای حل جریان‌های دوفازی که مقیاس طولی سطح مشترک آن‌ها از ابعاد شبکه بزرگ‌تر است؛ مانند اسلامگ، دقت بالای ندارند. اما برای جریان‌های مخلوطی؛ مانند جریان حبابی، که مقیاس طولی سطح مشترک آن‌ها (یا به عبارتی ابعاد حباب در آن جریان) کوچک‌تر از ابعاد شبکه است، دقت قابل قبولی از خود ارائه می‌کنند. حسن این روش‌ها در لحاظ نمودن تمام نیروهای اندرکنش بین فازی است. زیرا در این روش، برای هر فاز دو معادله پیوستگی جرم و مومنتم به صورت مجزا حل می‌شود. اما از طرفی اصلی ترین دلیل کاهش دقت این مدل‌ها لزوم استفاده از روابط تجربی برای تخمین ترم‌های انتقال مومنتم در معادلات مومنتم می‌باشد. در این روش هیچ فرآیندی برای تعیین دقیق موقعیت سطح مشترک درون سلول انجام نمی‌شود و سطح مشترک براساس کسر حجمی هر یک از فازهای درون سلول به صورت رنگی (به صورت پخشی) نشان داده می‌شود. لذا موقعیت و نحوه حرکت سطح مشترک و همچنین شار جرمی عبوری هر فاز از عرض سطح مشترک در این روش به درستی محاسبه نمی‌شود [17].

از طرفی مدل حجم سیال برای جریان‌هایی با مقیاس طولی سطح مشترک بزرگ‌تر از ابعاد شبکه، دقت بسیار بالایی از خود نشان می‌دهد. اما در جریان‌هایی که مقیاس طولی سطح مشترک آن‌ها کوچک‌تر از ابعاد شبکه است، این روش دچار خطای زیادی می‌شود. در این روش هر دو فاز به صورت مخلوط در نظر گرفته می‌شوند و از معادلات ناویر-استوکس برای حل این جریان مخلوطی استفاده می‌شود. اما برای مشخص نمودن سطح مشترک از یک معادله اضافی که همان معادله انتشار کسر حجمی است، به همراه الگوریتم‌های پیچیده هندسی برای تولید سطح مشترک تیز<sup>۱</sup> درون هر سلول استفاده می‌شود [17].

به عبارت دیگر، روش دوسیالی در محاسبه دقیق‌تر جریان دوفازی به همراه تمام نیروهای بین فازی ارجحیت داشته و روش حجم سیال که در حقیقت روشی برای بازسازی سطح مشترک درون سلول است، در تعیین دقیق موقعیت و نحوه حرکت سطح مشترک برتری دارد [17].

اگر از ترکیب دو مدل دوسیالی و حجم سیال برای مدل‌سازی جریان استفاده شود، می‌توان جریان‌هایی که شامل هر دو مقیاس سطح مشترک هستند (مانند اسلامگ) را به راحتی تحلیل نمود. به نحوی که در موارضی که مقیاس طولی سطح مشترک از ابعاد شبکه بزرگ‌تر است، مانند چهارچوب اسلامگ (بیشانی و دم اسلامگ)، روش حجم سیال فعل شده و سطح مشترک به خوبی بازسازی می‌شود. اما در موارضی که مقیاس طولی سطح مشترک کوچک‌تر از ابعاد شبکه است، مدل دوسیالی فعل شده و بدون لحظ نمودن سطح مشترک تنها تأثیر فاز پراکنده در فاز پیوسته لحظ می‌گردد. بدین ترتیب چهارچوب اسلامگ توسط مدل حجم سیال و بدنه اسلامگ مایع به همراه ذرات حباب نفوذ کرده (با ابعاد کوچک‌تر از ابعاد شبکه) به داخل آن توسط مدل دوسیالی مدل می‌شود.

معیار تغییر وضعیت بین این دو مدل محاسبه کسر حجمی فاز ثانویه در یک بلوک 3×3 (9 سلول) می‌باشد. بدین ترتیب که اگر میزان کسر حجمی فاز ثانویه در این بلوک کمتر از 0.25 بود سطح مشترک در سلول مرکزی این بلوک به عنوان سطح مشترک کوچک مقیاس و اگر این مقدار بزرگ‌تر از 0.25

<sup>1</sup> Sharp interface

$$\text{Re}_p = \frac{|u_f - u_p| d_p}{v_p} \quad (18)$$

در رابطه بالا زیرنویس  $i$  مربوط به فاز پراکنده و زیرنویس  $j$  مربوط به فاز پیوسته،  $\tau_i$  زمان آرامش ذره<sup>۳</sup> و  $A_{iac}$  ترم تمرکز مساحت سطح مشترک<sup>۴</sup> می‌باشد. ترم  $A_{iac}$  در حقیقت نسبت مساحت بین دو فاز به حجم واحد مخلوط دو فاز، یا همان مقیاس طولی سطح مشترک می‌باشد. این ترم پارامتر مهمی برای محاسبه میزان انتقال جرم، مومنت و انرژی در عرض سطح مشترک است. در این مسئله برای اعمال اثر فاز پراکنده (که همان ذرات حباب نفوذ کرده به داخل اسلامگ هستند) در تعیین مقیاس طولی سطح مشترک از روش بالانس جمعیتی حباب‌ها استفاده می‌شود و در آن مقیاس طولی سطح مشترک براساس قطر متوسط به دست می‌آید. بدین ترتیب می‌توان ترم  $A_{iac}$  را به صورت زیر محاسبه نمود:

$$A_{iac} = \frac{\pi d_i^2}{\frac{1}{6}\pi d_i^3} = \frac{6}{d_i} \quad (19)$$

جهت ایجاد اطمینان از صفر شدن ترم  $A_{iac}$  وقتی که کسر حجمی فاز پراکنده به سمت ۱ می‌رود، رابطه بالا به صورت زیر اصلاح می‌گردد:

$$A_{iac} = \frac{6\alpha_i(1-\alpha_i)}{d_i} \quad (20)$$

### 3-1-3 معادلات بالانس جمعیتی فاز پراکنده<sup>۵</sup> یا همان هوا

معادله پیوستگی جرم دسته حباب‌ها [19]:

$$\frac{\partial}{\partial t} [n(V, t)] + \nabla \cdot [n(V, t)V_3] = \frac{\varepsilon_g}{n(V=0, t)} + B - D \quad (21)$$

در رابطه (21) ترم  $n(V, t)$  دانسیته تعداد حباب‌ها،  $V$  حجم متوسط دسته گروه حباب‌ها،  $B$  ترم چشمیه یا همان نفوذ حباب‌ها به داخل بدنه اسلامگ مایع،  $D$  به ترتیب نرخ تولد و مرگ یک حباب جدید با قطر مشخص، براساس انعقاد حباب‌های کوچک‌تر یا شکست حباب‌های بزرگ‌تر می‌باشند.

نحوه مدل‌سازی ترم‌های  $B$  و  $D$  در روابط (22) و (23) آورده شده است:

$$B_{agg} = \text{Birth rate do to aggregation} \\ B = \frac{1}{2} \int_0^V \underbrace{a(V - \tilde{V}, \tilde{V}) n \left( \begin{array}{c} V \\ \text{bubble} \\ \text{aggregation} \\ \text{kernelfunction} \end{array} - \begin{array}{c} \tilde{V} \\ \text{daughter} \\ \text{bubble} \\ \text{volume} \end{array}, t \right) n(\tilde{V}, t) d\tilde{V}}_{B_{br} = \text{Birth rate do to breakup}} \\ + \int_V^\infty \underbrace{\frac{g(\tilde{V})}{\text{assume } \sim 2} \text{bubble breakup frequency}}_{\text{size distribution of daughter bubbles formed from breakup}} \frac{\beta(V|\tilde{V})}{n(\tilde{V}, t)} n(\tilde{V}, t) d\tilde{V} \quad (22)$$

$$D_{agg} = \text{Death rate do to aggregation} \quad D_{br} = \text{Death rate do to breakup} \\ D = \int_0^\infty a(V, \tilde{V}) n(V, t) n(\tilde{V}, t) d\tilde{V} + \frac{g(V)}{n(V, t)} \quad (23)$$

در روابط فوق  $\beta(V|\tilde{V})$ تابع توزیع ابعاد حباب‌های تشکیل شده از شکست حباب‌های کوچک‌تر (توزیع اندازه حباب‌های تولیدی)،  $V$  حجم حباب تولیدی حاصل از انعقاد یا شکست حباب‌های دیگر،  $\tilde{V}$  حجم حباب اولیه (مادر) قبل از شکست یا انعقاد،  $a(V - \tilde{V}, \tilde{V})$  تابع هسته مرکزی انعقاد حباب‌ها،  $g(V)$

ترم میزان نفوذ ذرات حباب به درون بدنه اسلامگ مایع (kg/m<sup>3</sup>.s) می‌باشد. از این معادلات در روش حجم سیال به همراه روش‌های هندسی بازسازی سطح مشترک<sup>۱</sup> برای تخمین سطح مشترک استفاده می‌شود. در این مدل خواص فیزیکی به صورت ترکیبی خطی از خواص فیزیکی هر دو فاز مناسب با کسر تهی آن‌ها در هر سلول محاسبه می‌شود. خواص فیزیکی ترکیبی از روابط (8) و (9) محاسبه می‌شوند:

$$\rho_m = \alpha_1 \rho_1 + \alpha_2 \rho_2 + \alpha_3 \rho_3 \quad (8)$$

$$\mu_m^{\text{eff}} = \alpha_1 \mu_1^{\text{eff}} + \alpha_2 \mu_2^{\text{eff}} + \alpha_3 \mu_3^{\text{eff}} \quad (9)$$

در روابط (4) الی (7) زیرنویس  $m$  نشان‌دهنده مخلوط هر دو فاز می‌باشد. کسر تهی فاز سوم نیز از رابطه (10) محاسبه می‌شود.

$$\alpha_3 = 1 - (\alpha_1 + \alpha_2) \quad (10)$$

### 2-1-3 معادلات مدل دوفازی-دوسیالی تک فشاره

معادلات پیوستگی جرم [19]:

$$\frac{\partial(\alpha_1 \rho_1)}{\partial t} + \nabla \cdot (\alpha_1 \rho_1 V_1) = 0 \quad (11)$$

$$\frac{\partial(\alpha_2 \rho_2)}{\partial t} + \nabla \cdot (\alpha_2 \rho_2 V_2) = -\frac{\dot{m}_{\text{entrainment}_{2 \rightarrow 3}}}{V_{\text{cell}}} \quad (12)$$

$$\frac{\partial(\alpha_3 \rho_3)}{\partial t} + \nabla \cdot (\alpha_3 \rho_3 V_3) = \frac{\dot{m}_{\text{entrainment}_{2 \rightarrow 3}}}{V_{\text{cell}}} \quad (13)$$

معادله پیوستگی مومنت:

$$\frac{\partial(\alpha_i \rho_i V_i)}{\partial t} + \nabla \cdot (\alpha_i \rho_i V_i V_i) = -\alpha_i \nabla P + \nabla \cdot (\alpha_i \tau_i) \quad (14)$$

$$+ \alpha_i \rho_i \cdot g + F_{\text{lifit}, i} + F_{\text{wl}, i} + F_{\text{vm}, i} + F_{\text{td}, i} \\ + \sum_{j=1}^3 (R_{ij} + \dot{m}_{ij} V_{ij} - \dot{m}_{ji} V_{ji}) \quad (14)$$

در رابطه (14) زیرنویس  $i$  و نشان‌دهنده هر یک از فازها می‌باشد و از ۱ تا ۳ تغییر می‌کنند. به علاوه  $F_{\text{lifit}, i}$  نیروی بالابر،  $F_{\text{wl}, i}$  نیروی روان کاری دیواره،  $F_{\text{vm}, i}$  نیروی پراکنده اغتشاشات و  $u_{ij}$  سرعت سطح مشترک می‌باشد. اگر از فاز  $i$  به فاز  $j$  انتقال جرم وجود داشته باشد  $u_{ij} = u_i$  و در صورتی که از فاز  $j$  به فاز  $i$  انتقال جرم وجود داشته باشد  $u_{ij} = u_j$  ( $\dot{m}_{ij} > 0$ ) می‌باشد. به همین ترتیب اگر  $u_{ji} = u_j$  و  $\dot{m}_{ji} > 0$  باشد. اگر  $u_{ji} = u_i$  و  $\dot{m}_{ji} < 0$  می‌باشد. برای بسته شدن معادلات تنها باید ترم  $R_{ij}$  که بیانگر نیروی اندرکنش بین فازی است، مدل‌سازی شود. این نیرو که در اثر نیروهایی مثل اصطکاک، فشار، چسبندگی و سایر اندرکنش‌های بین فازی ایجاد و به صورت قرینه  $R_{ij} = -R_{ji}$  در معادلات دو فاز وارد می‌گردد، به صورت زیر مدل می‌شود:

$$\sum_{j=1}^3 R_{ij} = \sum_{j=1}^3 K_{ij} (V_i - V_j) \quad (15)$$

در رابطه بالا  $K_{ij}$  ضریب تبادل مومنت بین فازی می‌باشد.<sup>۲</sup> نیروهای اندرکنش بین فازی تنها بین فاز مایع و گاز (یعنی بین فاز ۱ با فازهای ۲ و ۳) ایجاد می‌شود. ضریب اندرکنش بین فازی برای جریان سیال سیال  $K_{ij}$  به صورت زیر محاسبه می‌شود:

$$K_{ij} = \frac{\rho_i f}{6\tau_i} d_i A_{iac} \quad (16)$$

$$\tau_i = \frac{\rho_i d_i^2}{18\mu_i} (1 + 0.15 \text{Re}_p^{0.687})^{-1} \quad (17)$$

<sup>1</sup> GeoConstruction

<sup>2</sup> لازم به ذکر است که اغتشاشات تنها از طریق ترم  $F_{\text{td}, i}$  محاسبه شده و در ترم  $K_{ij}$  سهمی ندارند.

<sup>3</sup> Particle relaxation time  
<sup>4</sup> Interfacial area concentration  
<sup>5</sup> Dispersed

$$\begin{aligned} \frac{\partial}{\partial t}[n(V_0, t)] + \nabla \cdot [n(V_0, t)V_3] &= \frac{\varepsilon_g}{m_{\text{entrainment}_{2 \rightarrow 3}}} + B_{\text{br}} - D_{\text{agg}} \\ \frac{\partial}{\partial t}[n(V_1, t)] + \nabla \cdot [n(V_1, t)V_3] &= B - D \\ \frac{\partial}{\partial t}[n(V_2, t)] + \nabla \cdot [n(V_2, t)V_3] &= B - D \\ \frac{\partial}{\partial t}[n(V_3, t)] + \nabla \cdot [n(V_3, t)V_3] &= B_{\text{agg}} - D_{\text{br}} \end{aligned} \quad (27)$$

براساس نتایج آزمایش نایدال و آندروسی [20], پدیده مکش حباب به داخل اسلاگ تنها در صورتی که سرعت نسبی بین پیشانی اسلاگ و فیلم مایع، از یک مقدار معینی بیشتر شود صورت می‌گیرد. این مقدار حداقلی به صورت زیر ارائه می‌گردد:

$$V(x_s) \cdot \hat{n} \approx V_{\text{front}} - V_{\text{film}} > \approx 0.22 \frac{m}{s} \quad (28)$$

در رابطه (28)  $u_c(x_s)$  سرعت فاز مایع در پیشانی اسلاگ و  $u_{\text{ent}}$  حداقل سرعت لازم برای شروع پدیده نفوذ ذرات حباب به درون اسلاگ می‌باشد. بنابراین علاوه بر شرایط مذکور، تنها در صورت احراز شرط فوق، ترم تبدیل جرم در معادلات مربوطه لحاظ می‌گردد. جهت بررسی شرط فوق، باید سرعت حرکت سطح مشترک محاسبه شود. این کار با استفاده از بردار نرمال سطح مشترک انجام می‌شود. بردار  $\hat{n}$  همان بردار یکه عمود بر سطح مشترک است. بردار نرمال سطح مشترک را می‌توان با گرفتن گرادیان کسر حجمی هر یک از فارها به دست آورد [19].

$$n = \nabla \alpha_q \rightarrow \hat{n} = \frac{n}{|n|} \quad (29)$$

بنابراین سرعت سطح مشترک به صورت زیر محاسبه می‌شود:

$$V_{\text{interface}} = u_i \cdot \hat{n} \quad (30)$$

جهت مدل‌سازی ترم  $\dot{m}_{\text{entrainment}_{2 \rightarrow 3}}$  براساس نتایج کار ما و همکارانش از رابطه زیر که برای تخمین میزان نفوذ حباب در جریان اطراف شناور سطحی و جت نفوذی ارائه شده است استفاده می‌شود [12]:

$$\dot{m}_{\text{entrainment}_{2 \rightarrow 3}} = \frac{C_{\text{ent}}}{\Phi_{\text{ent}} g V_0} k(x) \frac{\partial u_n}{\partial n}(x) \quad (31)$$

در رابطه بالا  $x$  موقعیت سطح مشترک،  $k$  ارزی جنشی اغتشاشی موضعی حاصل از حل معادلات اغتشاشی جریان،  $V_0$  حجم کوچک‌ترین دسته حباب که نفوذ در آن ابعاد اتفاق می‌افتد و با توجه به این که تمام پدیده نفوذ در  $\Phi_{\text{ent}}$  ضخامت سطح مشترک می‌باشد و با سطح مشترک نسبت به راستای عمود بر سطح مشترک است. جهت محاسبه این ترم براساس اطلاعات موجود مسئله، یعنی مختصات اولیه و سرعت‌های فاز مایع نسبت به این مختصات، می‌توان از روابط مربوط به دوران دستگاه مختصات که در رابطه (32) آورده شده است استفاده نمود تا سرعت سطح مشترک نسبت به دستگاه مختصات موجود بر روی سطح مشترک به دست آید.

$$\frac{\partial \dot{u}_l}{\partial x_j} = \frac{\partial \dot{x}_l}{\partial x_j} \frac{1}{(Q_{ik} u_k)} (Q_{ik} u_k) = Q_{ik} Q_{jl} \frac{\partial u_k}{\partial x_l} \quad (32)$$

بنابراین برای محاسبه ترم  $\frac{\partial u_n}{\partial n}$  می‌توان از رابطه زیر استفاده نمود:

$$\begin{aligned} \frac{\partial u_n}{\partial n} &= Q_{nk} Q_{nk} \frac{\partial u_k}{\partial x_k} = Q_{nk}^2 \frac{\partial u_k}{\partial x_k} \\ &= [\hat{n} \cdot \hat{n}] \left[ \frac{\partial u_1}{\partial x_1} + \frac{\partial u_2}{\partial x_2} + \frac{\partial u_3}{\partial x_3} \right] \end{aligned} \quad (33)$$

فرکانس شکست حباب‌ها و تعداد حباب‌های حاصل از شکست می‌باشد. رابطه (21) برای هر تعداد دسته حباب که در نظر گرفته شود، نوشته و حل می‌شود. البته لازم به ذکر است که نفوذ (یا همان مکش) ذرات حباب به داخل آب تنها در مورد کوچک‌ترین ابعاد حباب‌ها اتفاق می‌افتد و ترم نفوذ تنها در معادله پیوستگی جرم مربوط به کوچک‌ترین دسته حباب‌ها وارد می‌شود. زیرا در هنگام نفوذ ذرات حباب به داخل مایع هرچه ابعاد این ذرات کوچک‌تر باشد مقاومت موجود بر سر راه نفوذ کمتر خواهد بود.

بنابراین به جای رابطه (13) رابطه (21) به تعداد دسته حباب‌های انتخابی حل خواهد شد و کسر حجمی فاز سوم نیز از برآیند این معادلات به صورت رابطه (24) بدست خواهد آمد.

$$\alpha_3 = \frac{\sum_{j=1}^3 n(V_j, t) \cdot V_j}{V_{\text{cell}}} \quad (24)$$

بدین ترتیب قطر متوسط حباب‌های ریز برای ایجاد ارتباط بین معادلات بالا انس جمعیتی و معادلات دوسیالی از طریق تخمین ترم‌های اندرکنش بین فازی با فاز سوم و ترم تبادل مومنتم، به صورت رابطه (25) براساس قطر متوسط سائز<sup>۱</sup> محاسبه می‌شود.

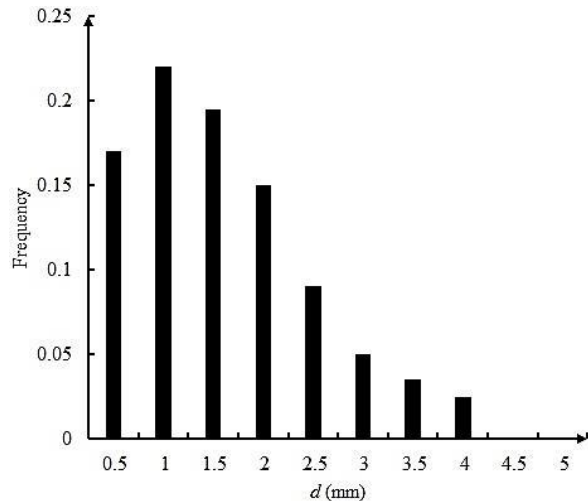
$$d_s = \frac{\sum n(V_j, t) \cdot V_j}{\sum n(V_j, t) \cdot A_j} \quad (25)$$

براساس آزمایش‌های انجام شده توسط آندروسی و همکارانش توزیع حباب‌های درون اسلاگ از "شکل 6" تبعیت می‌کند [5]. همان‌طور که مشخص است توزیع قطر حباب‌های نفوذ کرده به داخل بدن اسلاگ مایع از توزیع استقان-بولترمن تبعیت می‌کند.

با توجه به توزیع قطر حباب‌ها درون بدن اسلاگ مایع و در نظر گرفتن هزینه محاسباتی، می‌توان از 4 معادله بالا انس جمعیتی، که معرف 4 دسته حباب می‌باشد، برای مدل‌سازی حباب‌های نفوذ کرده به درون اسلاگ استفاده نمود. توزیع قطر این دسته حباب‌ها به صورت زیر با ضریب رشد  $q=2$  و قطر  $1\text{mm}$  برای اولین دسته حباب‌ها در نظر گرفته می‌شود:

$$\frac{V_{i+1}}{V_i} = \left( \frac{d_{i+1}}{d_i} \right)^{q=2} = 2^q \frac{d_{i+1}=1\text{mm}}{d_i=1\text{mm}} \begin{cases} d_1 = 1.5\text{mm} \\ d_2 = 2.5\text{mm} \\ d_3 = 4\text{mm} \end{cases} \quad (26)$$

بنابراین معادلات بالا انس جمعیتی برای 4 دسته حباب به صورت روابط (27) نوشته می‌شوند:



شکل 6 توزیع قطر حباب‌های نفوذ کرده به داخل اسلاگ [5]

<sup>۱</sup>

Sauter Mean-Diameter

نفوذ کرده به داخل بدن اسلامگ مایع نشان داده شده است. در این شکل پروفیل حباب‌ها نیز برای هر لحظه از زمان نمونه‌برداری، در زیر پروفیل جریان اسلامگ آورده شده است.

همان‌طور که مشاهده می‌شود، نفوذ حباب‌ها از قسمت پیشانی اسلامگ آغاز شده و رفتارهای پیشروی اسلامگ و شتاب گیری آن میزان حباب‌های نفوذی نیز افزایش می‌پابد. همان‌طور که پیش‌تر نیز گفته شد، این حباب‌ها در فرآیند تعیین سطح مشترک اسلامگ که دارای مقیاس طولی سطح مشترک بزرگ است وارد نمی‌گردند. اما قطر متوسط این حباب‌ها براساس تعداد آن‌ها درون اسلامگ (حباب‌های با ابعاد مختلف) محاسبه شده و در تخمین ترم‌های اندرکنش بین فازی در معادلات اولری-اولری (دو سیالی) تأثیر خواهد گذاشت.

جهت مقایسه پروفیل حاصل از نتایج عددی با نتایج آزمایشگاهی، در سمت راست "شکل 7" نتایج آزمایشگاهی ادبی و انصاری بر روی اسلامگ آورده شده است [2].

در "شکل 8" سرعت فاز آب در تمام میدان حل در زمان وقوع جریان اسلامگ در دو حالت با یکدیگر مقایسه شده است. این دو حالت نتایج حل عددی جریان اسلامگ با استفاده از مدل اولری-اولری ساده بدون در نظر گرفتن حباب‌ها و نتایج حل عددی جریان اسلامگ با استفاده از مدل ترکیبی و در نظر گرفتن پدیده نفوذ ذرات حباب به درون بدن اسلامگ مایع می‌باشند. زمان وقوع اسلامگ در این شکل با یک کادر مربعی و حداکثر سرعت فاز آب در میدان حل با یک کادر دایره‌ای نشان داده شده است. همان‌طور که مشاهده می‌گردد، زمان وقوع اسلامگ در حالت حل جریان با در نظر گرفتن حباب‌ها در زمان دیرتری نسبت به حالت حل جریان اسلامگ به روش معمولی اتفاق می‌افتد. از طرفی حداکثر سرعتی که فاز مایع در حالت حل جریان با در نظر گرفتن حباب‌ها به آن می‌رسد، از مقدار مشابه در حل جریان به روش معمولی بیشتر خواهد بود. این دو اثر به یک دلیل اتفاق خواهند افتاد و آن هم نفوذ ذرات حباب به داخل بدن اسلامگ مایع است. نفوذ ذرات حباب حتی قبل از وقوع پدیده اسلامگ نیز اتفاق می‌افتد و موج‌های کوچکی نیز که در سطح مشترک ایجاد می‌گردد قبل از این که رشد کرده و به اسلامگ تبدیل شوند، در همان مراحل اولیه دچار پدیده هوایی می‌شوند. بنابراین موجی که قرار است به بالای کاتال رسیده و آن را مسدود کند مقداری حباب در درون خود دارد. با توجه به این که ذرات حباب تراکم‌پذیر هستند، لذا اندکی از نیروی ناشی از افزایش فشار در پشت ستون اسلامگ صرف متراکم کردن این حباب‌ها شده و باعث تأخیر در فرآیند سرعت گرفتن ستون اسلامگ می‌گردد. از طرفی با شتاب گیری و افزایش سرعت اسلامگ نرخ نفوذ ذرات حباب به درون اسلامگ (براساس رابطه (31)) به شدت افزایش می‌پابد. نفوذ این ذرات باعث کاهش وزن ستون مایع اسلامگ می‌شود. در این حالت نیروی مومنت ناشی از افزایش فشار هوا در پشت اسلامگ (به سبب مسدود شدن کاتال) می‌تواند سرعت ستون مایع و به تبع آن سرعت فاز مایع را تا حد بالاتری افزایش دهد.

کسر حجمی حباب‌های نفوذ کرده به درون بدن اسلامگ مایع برای سرعت‌های مخلوط ورودی مختلف در "شکل 9" با نتایج بررسی آزمایشگاهی آندروسی و بندیکسون برای دو زاویه مختلف کاتال [4] و نایدال و آندروسی برای دو سرعت ورودی فاز مایع [9] مقایسه شده است. سرعت مخلوط جریان در ورودی به صورت رابطه (41) محاسبه می‌شود:

$$U_M = \alpha_L U_{SL} + \alpha_G U_{SG} \quad (41)$$

### 3-2- مدل‌سازی اغتشاشات جریان

همان‌طور که از اعداد رینولدز هر دو فاز مشخص است، جریان هر دو فاز کاملاً مغلوتوش بوده و نتایج مربوط به حل جریان با مدل جریان آرام قابل قبول نخواهد بود. از طرفی با توجه به رابطه تعیین نرخ نفوذ ذرات حباب به داخل اسلامگ، که در آن انرژی جنبشی اغتشاشی یکی از پارامترهای اصلی برای تعیین این کمیت می‌باشد، باید از یک مدل اغتشاشی در کنار مدل‌های دوفاژی استفاده نمود.

انتخاب مدل اغتشاشی مناسب در این جریان می‌تواند تأثیر به سزاپی بر دقت نتایج حل داشته باشد. با توجه به بررسی‌های انجام شده در زمینه‌ی تعیین سازگارترین مدل اغتشاشی با جریان اسلامگ جهت مدل‌سازی عددی، مدل کی-اپسیلون گروههای نرمالیزه شده<sup>1</sup> به عنوان بهترین مدل اغتشاشی انتخاب شد، که در این مقاله نیز از همین مدل در کنارتابع دیواره استفاده می‌شود [20]. معادلات انتقال متغیرهای اغتشاشی در این مدل به صورت زیر می‌باشد [19]:

$$\frac{\partial(\rho k)}{\partial t} + \frac{\partial(\rho k u_i)}{\partial x_i} = \frac{\partial}{\partial x_i} \left[ \sigma_K \mu_{eff} \frac{\partial k}{\partial x_i} \right] + G_k - \rho \varepsilon \quad (34)$$

$$\frac{\partial(\rho \varepsilon)}{\partial t} + \frac{\partial(\rho \varepsilon u_i)}{\partial x_i} = \frac{\partial}{\partial x_i} \left[ \sigma_\varepsilon \mu_{eff} \frac{\partial \varepsilon}{\partial x_i} \right] + C_{1\varepsilon} \frac{\varepsilon}{k} G_k - \rho C_{2\varepsilon} \frac{\varepsilon^2}{k} - R_\varepsilon \quad (35)$$

برتری مدل RNG نسبت به سایر مدل‌های  $k-\varepsilon$  در ترم  $R_\varepsilon$  موجود در معادله می‌باشد که به صورت روابط (36-38) نوشته می‌شود.

$$R_\varepsilon = \frac{C_\mu \rho \eta^3 \left( 1 - \frac{\eta}{\eta_0} \right) \varepsilon^2}{1 + \beta \eta^3} \frac{k}{k} \quad (36)$$

$$\eta = \frac{Sk}{\varepsilon} \quad (37)$$

$$\beta = 0.012 \quad (38)$$

این پارامتر در نواحی که جریان به شدت تحت کرنش قرار دارد ( $\eta_0 < k$ ) با محاسبه مقادیر کمتری برای ترم تلفات در معادله انتقال  $\varepsilon$ ، باعث افزایش  $\varepsilon$  و کاهش  $k$  و به تبع آن کاهش لزجت مؤثر می‌شود. این موضوع باعث افزایش دقت این مدل نسبت به سایر مدل‌های در جریان‌هایی که به شدت تحت کرنش (کشیدگی) قرار دارند مانند جریان اسلامگ می‌شود. در روابط (35-36)،  $C_\mu$  و  $C_{2\varepsilon}$  ضرایب ثابت این مدل می‌باشند.

تأثیر مدل اغتشاشی در معادلات جریان با جایگزینی  $\mu_{eff}$  به جای  $\mu$  در معادلات مومنتم اعمال می‌شود.  $\mu_{eff}$  که حاصل جمع لزجت مولکولی و اغتشاشی می‌باشد به صورت زیر محاسبه می‌گردد:

$$\mu_{eff} = \mu + \mu_T \quad (39)$$

$$\mu_T = \rho C_\mu \frac{k^2}{\varepsilon} \quad (40)$$

برای مقایسه نحوه عملکرد مدل ترکیبی پیشنهاد شده بر روی جریان اسلامگ، این مسئله در نرم‌افزار فلوبنت حل شد. در این راستا از ترکیب سه مدل یاد شده به همراه اعمال تعدادی توابع نوشته شده توسط کاربر (کد برنامه‌نویسی به زبان C)<sup>2</sup> برای تخمین میزان نفوذ ذرات حباب به درون اسلامگ استفاده شد.

### 4. نتایج

در سمت چپ "شکل 7" پروفیل جریان اسلامگ با در نظر گرفتن حباب‌های

<sup>1</sup>  $k-\varepsilon$  RNG

<sup>2</sup> User Define Function

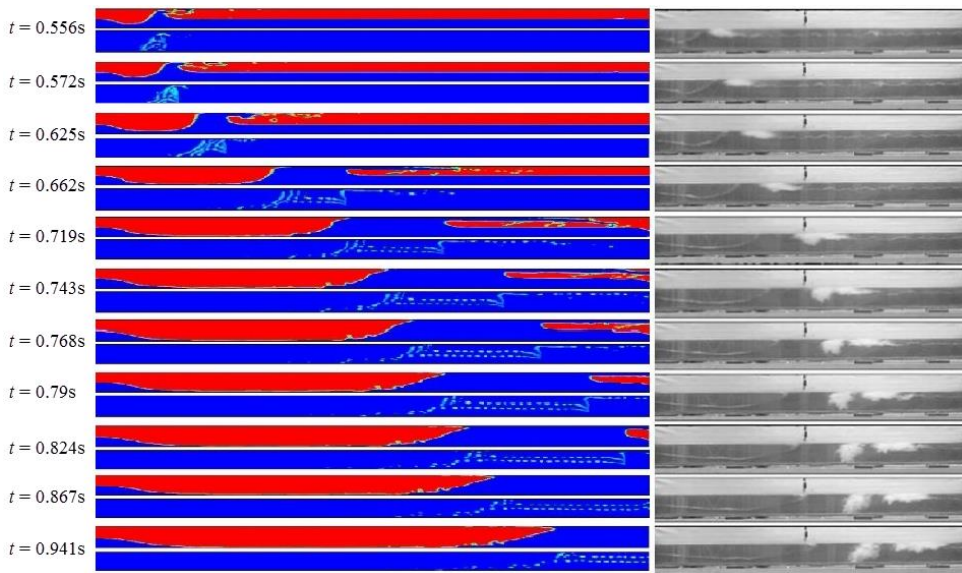
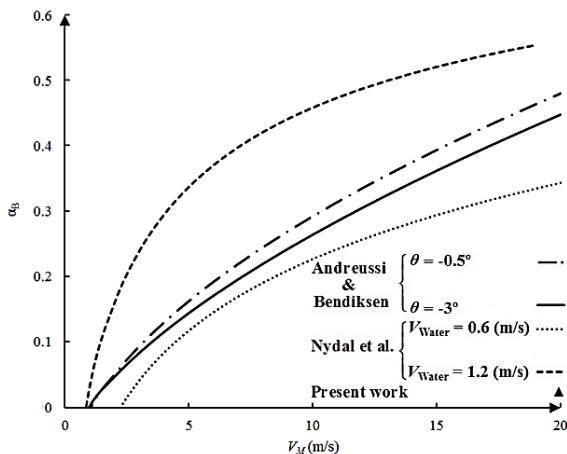


Fig. 7 Left: Numerical result of slug regime and entrained bubble profile. Right: Experimental investigation results on slug flow [2]

شکل 7 سمت چپ: پروفیل جریان اسلگ و حباب‌های نفوذ کرده استخراج شده از حل عددی. سمت راست: نتایج آزمایشگاهی بررسی جریان اسلگ [2]

Fig. 9 Entrained bubble void fraction vs. inlet mixture velocity [9,4]  
شکل 9 کسر حجمی حباب‌های نفوذ کرده داخل اسلگ بر اساس سرعت مخلوط جریان در ورودی [9,4]

در "شکل 10" نیز مقایسه‌ای بین سرعت متوسط حباب‌های نفوذ کرده به درون اسلگ در نتایج حل عددی حاضر و نتایج کار نایدال و همکارانش برای سرعت‌های ورودی متفاوت انجام شده است. این مقایسه نیز تطابق نسبی نتایج حل عددی حاضر با نتایج تجربی را نتیجه می‌دهد. البته از "شکل 10" واضح است که رفتار فضله با افزایش سرعت مخلوط اسلگ میزان اختلاف نتایج حل عددی حاضر با نتایج آزمایشگاهی افزایش می‌یابد. همان‌طور که مین و همکارانش نیز اشاره کرده بودند، با افزایش سرعت جریان‌های ورودی، سرعت حباب‌ها به دلیل افزایش فرآیند انعقاد حباب‌ها افزایش می‌یابد [14]. البته این موضوع می‌تواند به دلیل تغییر تدریجی رژیم جریان درون کanal با افزایش سرعت‌های ورودی به کanal نیز باشد.

در "شکل 11" دانسته تعداد حباب‌های درون اسلگ براساس قطر نشان داده شده است. همان‌طور که مشخص است تعداد ذرات با حداقل قطر که در آن ابعاد نفوذ اتفاق می‌افتد (زیرا انرژی لازم برای ورود حباب به درون مایع و غلبه بر کشش سطحی در آن سطح کمترین مقدار است) بیشترین

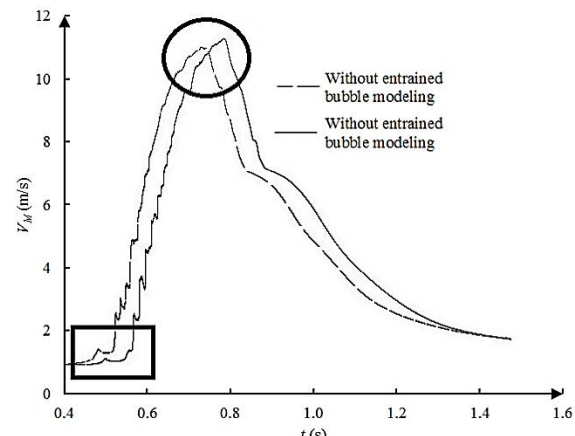


Fig. 8 Slug mixture velocity with combined model

شکل 8 سرعت مخلوط اسلگ در مدل‌سازی عددی با استفاده از مدل ترکیبی

مقدار کسر حجمی حباب‌های نفوذ کرده به داخل بدنه اسلگ مایع در این بررسی در زاویه صفر و برای سه سرعت مخلوط جریان در ورودی 7, 10 و 15 (m/s)، در "شکل 9" نشان داده شده است. البته در هر سه سرعت مخلوط سعی شده است که نسبت سرعت‌هایی هر یک از فازها نسبت به سرعت مخلوط حفظ شود. به عبارت دیگر اگر نسبت سرعت مخلوط به سرعت فاز مایع در حل عددی اول 14 است (سرعت هوا 7m/s و سرعت آب 0.5m/s است)، در سایر حل‌های عددی نیز همین نسبت‌ها حفظ شده است. همان‌طور که مشاهده می‌گردد، مقادیر حاصل از بررسی حاضر با نتایج کار آندروسی و بندیکسون برای زاویه  $-0.5^\circ$  که به لحاظ شبیه کanal اختلاف کمتری با کanal افقی موردنورد بررسی در کار حاضر دارد، تطابق بهتری دارد. در حل عددی حاضر برای سرعت‌های مخلوط ورودی متفاوت، سرعت فاز مایع بین مقادیر 0.5 الى 1.07m/s متغیر است و نتایج کسر تهی درون بدنه اسلگ مایع متناظر با این حل عددی در محدوده نتایج نایدال و آندروسی برای سرعت آب ورودی بین 0.6 تا 1.2m/s قرار می‌گیرد که نشان می‌دهد نتایج حل عددی حاضر تطابق نسبی خوبی با نتایج نایدال و آندروسی دارد.

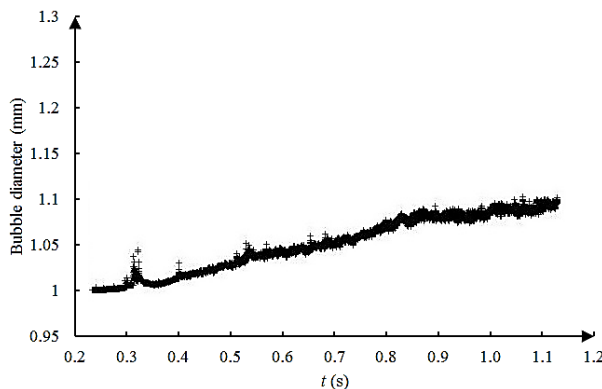


Fig. 12 Rntrained bubble sauter mean diameter

ذرات به تدریج افزایش می‌یابد. این مکانیزم نیز در افزایش قطر متوسط ذرات حباب تأثیر خواهد داشت.

### 5- جمع‌بندی

در مقاله حاضر برای درک بهتر پدیده اسلامگ جریان اسلامگ به همراه حباب‌های نفوذ کرده به داخل بدنه اسلامگ مایع توسط یک مدل ترکیبی که از ترکیب سه مدل دوسیالی، حجم سیال و بالанс جمعیتی به وجود آمده است، به صورت عددی و به کمک نرم‌افزار فلورئنت حل شد. در مدل فوق میزان ذرات حباب نفوذ کرده از قسمت پیشانی اسلامگ بر اساس پدیده‌های اغتشاشی موجود در آن ناحیه، توسط یک کد نوشته شده وارد نرم‌افزار شد. در این مدل سطح مشترک با مقیاس بزرگ یعنی دامنه اسلامگ توسط مدل حجم سیال و جریان حبابی درون اسلامگ توسط مدل دوسیالی حل می‌شود. در این رابطه برای محاسبه دقیق‌تر قطر حباب‌ها از مدل بالанс جمعیتی حباب‌ها استفاده شده است.

از نتایج حل عددی حاضر می‌توان به نتایج زیر رسید:

- در صورت در نظر گرفتن ذرات حباب در مدل‌سازی عددی اسلامگ در زمان دیرتری اتفاق می‌افتد یا به عبارت دیگر سرعت مورد نیاز برای شروع اسلامگ افزایش می‌یابد. این موضوع تطابق بیشتری با نتایج آزمایشگاهی دارد که در آن‌ها اسلامگ در اختلاف سرعت بیشتر اتفاق می‌افتد.
- در اثر نفوذ ذرات حباب وزن ستون اسلامگ کمتر شده و می‌تواند با سرعت بالاتری حرکت کند.
- با افزایش سرعت ورودی هر یک از دو فاز میزان هوایی در پیشانی اسلامگ افزایش می‌یابد. این موضوع در نتایج آزمایشگاهی نیز به اثبات رسیده است و نتایج حل عددی حاضر نیز با آن نتایج تطابق خوبی دارد.
- توزیع ابعاد حباب‌ها درون اسلامگ همانند توزیع به دست آمده توسط آندروسی و بندیکسون از یک توزیع بولتزمنی تعیین می‌کند.

### 6- فهرست علائم

	A	B	C	D	E	F	G	H	I
سطح مقطع (m <sup>2</sup> )									
قطر (m)				D					
تابع اصطکاک بین دو فاز					f				
شتان جاذبه (m/s <sup>2</sup> )						g			
ترم تولید انرژی جنبشی اغتشاشی (m <sup>2</sup> /s <sup>3</sup> )							G		
شدت اغتشاشات جریان									I

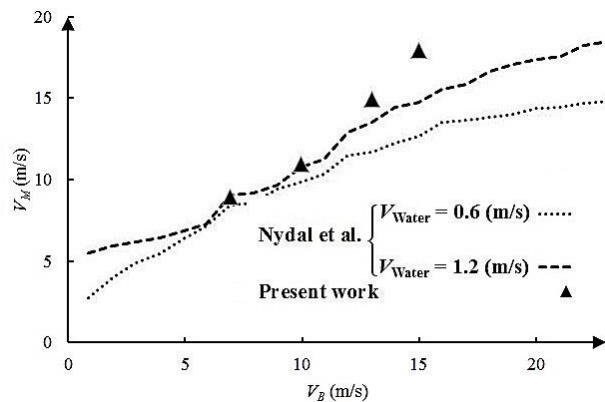


Fig. 10 Entrained bubble void fraction vs. inlet mixture velocity [9]

شکل 10 کسر حجمی حباب‌های نفوذ کرده داخل اسلامگ بر اساس سرعت مخلوط جریان در ورودی [9]

مقدار را دارد. پس از ورود ذرات حباب کوچک به درون اسلامگ پدیده‌های انعقاد و پس از آن شکست بر روی این حباب‌ها، باعث تولید حباب‌های با ابعاد متفاوت (در بازه‌های از پیش تعريف شده) می‌گردد. مشخص است که برای تولید حباب‌های از دسته چهارم (قطر 4mm) باید حداقل 3 بار فرآیند انعقاد بر روی حباب‌ها اتفاق بیفتد. بنابراین واضح است که تعداد حباب‌های با ابعاد بالاتر در درون اسلامگ کمتر خواهد بود.

همان‌طور که از "شکل 11" مشخص است نرخ حباب‌های نفوذ کرده به داخل اسلامگ در زمان وقوع اسلامگ یعنی در زمان 0.55s افزایش پیدا می‌کند که این امر در اثر افزایش ناگهانی سرعت اسلامگ است.

در "شکل 12" قطر متوسط ذرات درون اسلامگ نشان داده شده است. همان‌طور که مشخص است قطر ذرات از حداقل قطر ذرات نفوذ کرده یعنی 1mm شروع شده است. رفته رفتہ با افزایش نفوذ ذرات حباب فرآیندهای انعقاد بر روی حباب‌ها اتفاق می‌افتد و حباب‌های با قطر بزرگ‌تر تشکیل می‌شوند. بنابراین قطر متوسط ذرات حباب به تدریج افزایش می‌یابد. البته از آنجایی که تعداد حباب‌های با قطر کوچک‌تر به مراتب بیشتر از حباب‌های با قطر بزرگ‌تر است افزایش قطر متوسط به تدریج و به مقدار خیلی کمی اتفاق می‌افتد.

علاوه بر این، با شروع فرآیند شتاب‌گیری اسلامگ و همچنین حرکت ذرات حباب به سمت بالای کanal فشار موجود بر روی اسلامگ کاهش یافته و قطر

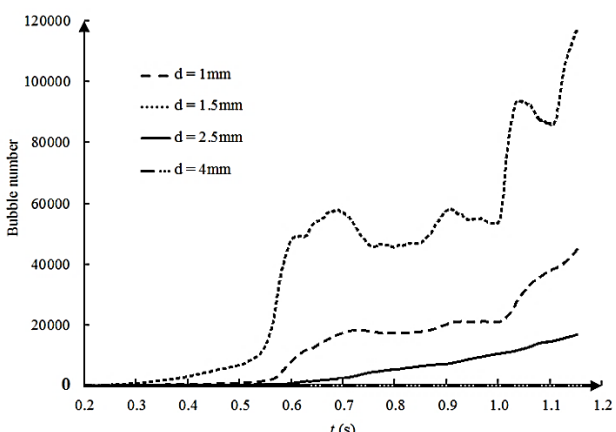


Fig. 11 Entrained bubble size distribution at slug intiation

شکل 11 دانسته تعداد ذرات حباب درون اسلامگ بر اساس قطر آن‌ها در زمان وقوع اسلامگ

- [3] G. A. Gregory, M. K. Nicholson, K. Aziz, Correlation of the liquid volume fraction in the slug for horizontal gas–liquid slug flow, *International Journal of Multiphase Flow*, Vol. 4, No. 1, pp. 33–39, 1978.
- [4] P. Andreussi, K. Bendiksen, An investigation of void fraction in liquid slugs for horizontal and inclined gas liquid pipe flow, *International Journal of Multiphase Flow*, Vol. 15, No. 6, pp. 937–946, 1989.
- [5] P. Andreussi, K. Bendiksen, O. J. Nydal, Void distribution in slug flow, *International Journal of Multiphase Flow*, Vol. 19, No. 5, pp. 817–828, 1993.
- [6] H. Chanson, *Air bubble entrainment in free-surface turbulent shear flow*, pp. 73–92, London, UK, Academic Press, 1996.
- [7] M. Cook, M. Behnia, Pressure drop calculation and modelling of inclined intermittent gas–liquid flow, *Chemical Engineering Science*, Vol. 55, No. 20, pp. 4699–4708, 2000.
- [8] D. Barnea, E. Roitberg, L. Shemer, Spatial distribution of void fraction in the liquid slug in the whole range of pipe Inclinations, *International Journal of Multiphase Flow*, Vol. 52, pp. 92–101, 2012.
- [9] O. J. Nydal, P. Andreussi, Gas entrainment in a long liquid slug advancing in a near horizontal pipe, *International Journal of Multiphase Flow*, Vol. 17, No. 2, pp. 179–189, 1991.
- [10] M. Bonizzi, R. I. Issa, A model for simulating gas bubble entrainment in two-phase horizontal slug flow, *International Journal of Multiphase Flow*, Vol. 29, No. 11, pp. 1685–1717, 2003.
- [11] F. J. Moraga, P. M. Carrica, D. A. Drew, R. T. Lahey Jr., A sub-grid air entrainment model for breaking bow waves and naval surface ships, *Computers & Fluids*, Vol. 37, No. 3, pp. 281–298, 2008.
- [12] J. Ma, A. A. Oberai, D. A. Drew, R. T. Lahey Jr., F. J. Moraga, A quantitative sub-grid air entrainment model for bubbly flows-plunging jets, *Computers & Fluids*, Vol. 39, No. 1, pp. 77–86, 2010.
- [13] R. Skartlien, J. A. Julshamn, C. J. Lawrence, L. Liu, A gas entrainment model for hydraulic jumps in near horizontal pipes, *International Journal of Multiphase Flow*, Vol. 43, pp. 39–55, 2012.
- [14] X. Min, J. Zhenyu, Z. Weihua, T. Jiyuan, Numerical modeling and analysis of gas entrainment for the ventilated cavity in vertical pipe, *Chinese Journal of Chemical Engineering*, Vol. 22, No. 3, pp. 252–260, 2014.
- [15] M. Ansari, E. Salimi, B. HabibPour, P. Adibi, Three dimensional simulation of slug two-phase flow regime in a horizontal channel using VOF method, *Modares Mechanical Engineering*, Vol. 14, No. 7, pp. 182–176, 2014. (in Persian) [\[فارسی\]](#)
- [16] E. Saadati, M. Zeynalabedini, *Fundamental and advanced CFD simulation with FLUENT and CFX*, pp. 603–605, Tehran, Iran, Pardad Petrodaneh firm (PETEC), 2015. (in Persian) [\[فارسی\]](#)
- [17] K. Yan, D. Che, A coupled model for simulation of the gas–liquid two-phase flow with complex flow patterns, *International Journal of Multiphase Flow*, Vol. 36, No. 4, pp. 333–348, 2010.
- [18] G. Cerne, S. Petelin, I. Tiselj, Coupling of the interface tracking and the two fluid models for the simulation of incompressible two-phase flow, *Journal of Computational Physics*, Vol. 171, No. 2, pp. 776–804, 2001.
- [19] ANSYS, Incorporation Products 15.0.7, ANSYS(R) FLUENT(R) Help, Accessed on 23 January 2014; <http://www.ansys.com/Products/FLUENT/Help/15.0/15.0.7/>.
- [20] M. R. Ansari, M. Zeynalabedini, Evaluation and selection of the most consistent turbulent model with the slug flow behavior, *Modares Mechanical Engineering*, Vol. 16, No. 8, pp. 315–325, 2016. (in Persian) [\[فارسی\]](#)

انرژی جنبشی اغتشاشی	$(m^2/s^2)$	$k$
بردار عمود بر سطح مشترک	$n$	
فشار (Pa)	$P$	
ماتریس دوران	$Q$	
ضریب رشد ابعاد دسته حباب‌ها	$q$	
عدد بی بعد رینولدز	$Re$	
اندازه نرخ کرنش (1/s)	$S$	
زمان (s)	$t$	
سرعت افقی یا به صورت کلی سرعت (m/s)	$u$	
حجم ( $m^3$ )	$V$	
موقعیت (m)	$x$	
علائم یونانی		
کسر حجمی هر یک از فازها	$\alpha$	
نرخ تلفات انرژی جنبشی اغتشاشی ( $m^2/s^3$ )	$\varepsilon$	
ویسکوزیته دینامیکی ( $kg/m \cdot s$ )	$\mu$	
چگالی ( $kg/m^3$ )	$\rho$	
معکوس عدد پرانتل مؤثر	$\sigma$	
تنش برشی (Pa)	$\tau$	
زیرنویس‌ها		
انعقاد حباب‌ها	$agg$	
تولد یک حباب	$br$	
سلول شبکه محاسباتی	$cell$	
مؤثر (مجموع پارامتر مولکولی و اغتشاشی)	$eff$	
پیشانی اسلاگ	$front$	
فیلم مایع پیش‌روی اسلاگ	$film$	
هیدرولیکی (قطر هیدرولیکی)	$h$	
معرف هر یک از سه فاز	$i, j, k, 1, 2, 3$	
تمرکز سطح مشترک	$iac$	
انرژی جنبشی اغتشاشی	$k$	
مخلوط دو فاز	$m$	
مولکولی	$mol$	
متوسط‌گیری شده بر اساس روش ساتر	$s$	
اغتشاشی	$T$	

## 7- مراجع

- [1] E. Pereyra, R. Arismendi, L. E. Gomez, R. S. Mohan, O. Shoham, G. E. Kouba, State of the art of experimental studies and predictive methods for slug liquid holdup, *Journal of Energy Resources Technology*, Vol. 134, No. 2, pp. 1–9, 2012.
- [2] P. Adibi, M. Ansari, Experimental investigation of slug initiation to upstream conditions of two phases in long horizontal channels in two fluids, *Modares Mechanical Engineering*, Vol. 14, No. 3, pp. 27–35, 2014. (in Persian) [\[فارسی\]](#)